

Kirkuk University Journal /Scientific Studies (KUJSS) Volume 11, Issue 4, December 2016, p.p(243-268) ISSN 1992 – 0849

خريطة مبسطة للنشاط الاشعاعي الطبيعي لمدينة الموصل

رشيد محمود يوسف 1, على حسن احمد 2, صفوه وليد احمد 3

1 قسم علوم البيئة ، كلية البيئة ، جامعة الموصل ، الموصل ، العراق معلوم البيئة ، كلية البيئة ، الموصل ، العراق المعلوم علام المعلوم ال

2 قسم الفيزياء , كلية العلوم , جامعة صلاح الدين , اربيل , العراق معمم الفيزياء , كلية العلوم , جامعة علم 2 قسم الفيزياء , كلية العلوم , العلوم 2 قسم الفيزياء , كلية العلوم , كلية العل

 3 قسم علوم البيئة ، كلية البيئة ، جامعة الموصل ، الموصل ، العراق

³safwa.waleed25@gmail.com

تاريخ قبول البحث:2016/2/23

تاريخ استلام البحث: 2015/10/11

<u>الخلاصة</u>

يهدف البحث الى تحديد مستويات النشاط الاشعاعي الطبيعي لغاز الرادون في عينات منتخبة لبعض عناصر بيئة مدينة الموصل (تربة, نبات, ماء) ورسم خريطة للنشاط الاشعاعي الطبيعي وفق نظام المعلومات الجغرافية GIS. اذ تم حساب تراكيز كل من الرادون 222Rn واليورانيوم 238U لاثني عشر منطقة منتخبة من مناطق مختلفة لمدينة الموصل حيث اجريت الدراسة باستخدام تقنية كاشف الاثر النووي الصلب نوع 39-CR.

بعدها تم ادخال النتائج الى ذاكرة الحاسوب بهيئة رقمية Digital وتم ربط البيانات التي تم ادخالها وخزنها عن طريق احداثيات جغرافية بمواقعها المكانية باستخدام نظام المعلومات الجغرافية GIS.

وتم استخدام برنامج ArcGIS 10.2.1 سطح المكتب، Erdas 9.2 لاستكمال منهجية البحث لإنتاج الخرائط النهائية من دراسة الموقع, تشير النتائج الى ان اقل تركيز لليورانيوم والرادون كان في حي 17 تموز وهي ×10° النهائية من دراسة الموقع, تشير النتائج الى ان اقل تركيز لليورانيوم والرادون في الحيز الهوائي للحجرات و (10° ×10° 10° المورانيوم و (1.590168 ppm) ×10° 10° الميورانيوم أو (0.264082 Bq.m-3) تركيز الرادون في عينات التربة, و (0.393860 ppm) لليورانيوم أو (0.393860 ppm)



Kirkuk University Journal /Scientific Studies (KUJSS) Volume 11, Issue 4, December 2016, p.p(243-268) ISSN 1992 – 0849

للرادون في الحيز الهوائي للحجرات و $(0.033357 \times 10^5~Bq.m^{-3})$ للرادون في عينات النبات لحي ($0.033357 \times 10^5~Bq.m^{-3})$ للرادون في الحيز الهوائي (0.0319246ppm) للرادون في الحيز الهوائي للحجرات و (0.0319246ppm) للرادون في عينات الماء لحي الاخاء.

وكان أعلى تركيز في حي المعلمين وهي (2.704451 ppm) لليورانيوم و (2.073883 × 10³ Bq.m⁻³) لليورانيوم و (2.073883 × 10⁴ Bq.m⁻³) تركيز الرادون في عينات التربة, و (للرادون في الحيز الهوائي للحجرات و (10⁵ Bq.m⁻³) للرادون في الحيز الهوائي للحجرات و (10⁵ Rq.m⁻³) لليورانيوم أو (10⁵ Bq.m⁻³) للرادون في الحيز الهوائي للحجرات للحيرات و (10⁶ × 10⁶ Rq.m⁻³) للرادون في عينات النبات لحي المعلمين, و (0.073387 Bq.m⁻³) للرادون في الحيز الهوائي للحجرات و (10.0755996 Bq.m⁻³) تركيز الرادون في عينات الماء لحي الفاروق.

وجميع هذه القيم تقريبا مسموح بها عالميا وتأثيرها محدود على الصحة والبيئة لكن المهم اننا استطعنا استخدام برنامج نظام المعلومات الجغرافي GIS لرسم خريطة للأشعاع الطبيعي في مدينة الموصل كوسيلة للمراقبة الاشعاعية وتحديثها دوريا.

كلمات دالة: خريطة اشعاعية, نظم المعلومات الجغرافية, الموصل, الرادون, 39-CR.

A simplified map of natural radioactivity for Mosul city

Rasheed M. Yousuf¹, Ali H. Ahmed², Safwa W.Ahmed³

¹Department of Environmental Sciences, College of Environment, University of Mosul, Mosul, Iraq

¹rasheedy11@gmail.com

²Department of Physics, College of Science, University of Salahaddin, Erbil, Iraq ²aha66sara@yahoo.com



Kirkuk University Journal /Scientific Studies (KUJSS) Volume 11, Issue 4, December 2016, p.p(243-268)

ISSN 1992 - 0849

³Department of Environmental Sciences, College of Environment, University of Mosul, Mosul, Iraq

³safwa.waleed25@gmail.com

ACCPTED DATE: 23/2/2016

RECEIVED DATE:11/10/2015

ABSTRACT

The aim of the present study is to determine the natural radioactivity levels for radon gas in selected samples of some of the environmental elements in the Mosul city of (soil, plant and water) and making map of natural radioactivity for Mosul city using Geographic Information System technique.

The concentration of $\binom{222}{Rn}$ and $\binom{238}{U}$ at twelve different regions in Mosul have been estimated using nuclear track detector (CR-39).

The obtained results were entered to the computer in digital form, and it has been connected to data entered and stored by geographic coordinates with their spatial location using Geographic Information System (GIS). Later on the ArcGIS 10.2.1 Desktop, Erdas 9.2 to produce the final maps from the study site.

The obtained results show that the lowest concentration of uranium and radon were found to be: in the Soil sample in Hai 17 tammuz and it is (1.590168 ppm) of uranium and (1.213170×10³ Bq.m⁻³) for radon in the air space of the chambers, and it is (0.264082×10⁵ Bq.m⁻³) for radon concentration in the samples; in the plant sample in Hai 17 tammuz, and (0.393860 ppm) of uranium and (0.153242×10³ Bq.m⁻³) for radon in the air space of the chambers and (0.033357×10⁵ Bq.m⁻³) radon concentration in the samples; in the water sample in Hai Al Ekhaa, and it is (0.0319246 ppm) of uranium and (0.0286052×10³ Bq.m⁻³) for radon in the air space of the chambers, and (0.0038917×10⁵ Bq.m⁻³) for radon concentration in the samples.

The highest concentrations were found to be: in the soil sample in Hai Al moalmen, (2.704451 ppm) of uranium or $(2.073883 \times 10^3 \text{ Bq.m}^{-3})$ for radon in the air space of the chambers $(0.451442 \times 10^5 \text{ Bq.m}^{-3})$ for radon concentration in the samples; in the plant sample in Hai Al moalmen, (0.852159 ppm) of uranium or $(0.337133 \times 10^3 \text{ Bq.m}^{-3})$ for radon in the air space of the chambers $(0.073387 \times 10^5 \text{ Bq.m}^{-3})$ for Radon concentration in the samples; in the water sample in Hai Al Faroooq (0.0843723 ppm) of uranium or



Volume 11, Issue 4, December 2016, p.p(243-268)

ISSN 1992 - 0849

 $(0.0755996\times10^{3} \text{ Bg.m}^{-3})$ for radon in the air space of the chambers $(0.010285\times10^{5} \text{ Bg.m}^{-3})$ for radon concentration in the samples.

Almost of these values are allowed globally and their impact on health and the environment is not significant. But the important thing that were able to use the Geographic Information System program to draw the map of natural radiation in Mosul city as a mean for radioactivity monitoring periodically updated.

Keywords: Radiation map, GIS, Mosul, Radon, CR-39.

(Introduction) المقدمة. 1

مع التزايد المطرد في استخدام النظائر المشعة والأشعة المؤينة في المجالات المختلفة للحياة العصرية في كل من الاغراض السلمية او غير السلمية تتزايد فرص التلوث البيئي بالإشعاع خارجيا وداخليا, وعليه تتزايد الحاجه الى معرفة وتقدير العناصر المشعة المتواجدة في البيئة لتحديد مدى التلوث الذي اصاب هذه البيئة. ومن المعلوم ان التلوث الاشعاعي للبيئة يمكن ان يتم من تلوث العناصر الأساسية المكونة للبيئة وهي (تربه وماء وهواء), وان تلوث اي من هذه العناصر ينتقل الى العناصر الاخرى, وقد يجد طريقه الى النبات والحيوان ومنهما الى الانسان عن طريق السلسلة الغذائية [1]. ان تأثير الاشعاع على الانسان يظهر على شكل امراض جسدية او تغيرات جينية, وتعتمد هذه التغييرات في ظهورها على جرعة الاشعاع المستلم, والفترة الزمنية الكامنة التي تمتد من ساعات الي عدة سنوات وهي الفترة منذ التعرض الاول للإشعاع حتى بداية ظهور اثار اعراضه [2].

يتولد غاز الرادون ²²²Rn نتيجة التحلل التلقائي (Spontaneous Decay) لعنصر الراديوم ²²⁶Ra الذي يوجد في القشرة الارضية والذي يعتمد على وجود اليورانيوم ²³⁸U الذي يقدر الجيولوجيون وجوده في القشرة الارضية بنسبة ppm 3 [3], حيث يوجد اليورانيوم بكميات مختلفة في الطبيعة في الصخور والتربة والماء والهواء والنباتات والحيوانات والجسم البشري وفي اماكن اخرى, اجريت العديد من البحوث لحساب تراكيز المواد المشعة في التربة [4], والنبات [5], والماء [6], والهواء [7], ومواد البناء [8], ونماذج بايولوجية [9], والسمنت [10], والاسمدة [11], واستخدمت فيها تقنيات مختلفة مثل التحليل الطيفي لأشعة كاما (Gamma Ray Spectrometry) والفلورة بالأشعة السينية (X Ray Fluorescence)

Web Site: www.kujss.com Email: kirkukjoursci@yahoo.com,

kirkukjoursci@gmail.com



Volume 11, Issue 4, December 2016, p.p(243-268)

ISSN 1992 - 0849

والتحليل بالتتشيط النيوتروني (Neutron Activation Analysis) وتقنية عد الأثار باستخدام كواشف الاثر النووي

(Solid State Nuclear Track Detectors) للحالة الصلبة

ويفضل استخدام التقنية الأخيرة لأنها بسيطة ولا تحتاج الى اجهزه معقدة وغير مكلفة, يعد كاشف الاثر CR-39 من

الكواشف البوليمرية الحساسة لقياس تراكيز باعثات جسيمات الفا والتي تعمل على توليد مسار ضيق لضرر الاشعاع يدعي

الاثر المستتر والذي يكون له القابلية على القشط اكثر من بقية السطح العام للكاشف عند وضعه في محلول قاعدي ملائم

للقشط كمحلول هيدروكيسد الصوديوم او هيدروكسيد البوتاسيوم لإظهار الاثار، أذ إن المواد القاشطة تهاجم المناطق التي

تعرضت للإشعاع المناطق التالفة بمعدلِ اكبرَ من المناطق السليمة لان هذه المناطق أكثر هشاشة من المناطق التي لم

تتعرضْ للإشعاع لأمتلاكها طاقة حرة اكبر من المناطق السليمة بسبب سقوط الجسيمات المشحونة عليها [12].

مع تطور تقنية الحاسب الآلي وقواعد المعلومات وتوفرها خاصة الرقمية منها بدأ الاهتمام باستخدام تقنية نظم

المعلومات الجغرافية GIS لتخزين ومعالجة ورسم المعلومات البيانية والخرائطية المطلوبة في معظم التطبيقات البيئية.

وتتميز تقنية نظم المعلومات الجغرافية عن غيرها من نظم وبرمجيات الحاسب الآلي في تخزين ومعالجة ورسم المعلومات

بشقيها البياني والجغرافي حيث ان كل معلومة بيانية وموقع جغرافي يحملان رقم التعريف نفسه، هذا بالإضافة إلى استخدام

الإحداثيات الأرضية كإحداثيات للعناصر الجغرافية الممثلة بالنقطة والخط والشكل و تتميز كذلك نظم المعلومات الجغرافية

باحتوائها على برامج خاصة لدوران وتصحيح واسقاط الخرائط وغيرها من العمليات الجغرافية مع المحافظة على المعلومات

البيانية لجميع العناصر الجغرافية التي تم دورانها وتصحيحها واسقاطها [13]، أما في إطار تعريفه الذي سيكون فيه نوع

من الإسهاب لتعدد استخدامات النظام فيشار له: احدث تقنية متبعة باستخدام أجهزة الحاسوب لحفظ كميات هائلة من

البيانات الجدولية (وهي التي تترتب في جداول وتسمى أيضاً البيانات الوصفية) مع مساحات كبيرة من الخرائط التي لا

يمكن حفظها بصورة أمينة على الورق، ويتم حفظ البيانات مع الخرائط بطريقة مترابطة بحيث يسهل على المستخدم عرض

البيانات الجدولية مع الخرائط وبعدة أساليب، وكذلك إجراء عمليات معالجة حسابية عليها لاستخراج النتائج بوقت وجهد

قليلين والاستفادة منها في اتخاذ القرارات بالسرعة المناسبة [14].

Web Site: www.kujss.com Email: kirkukjoursci@yahoo.com,

kirkukjoursci@gmail.com

247



Volume 11, Issue 4, December 2016, p.p(243-268)

ISSN 1992 - 0849

يهدف البحث الي عمل خريطة للنشاط الاشعاعي الطبيعي لبعض مكونات البيئة الخاصة بمدينة الموصل وفق نظام

المعلومات الجغرافية GIS وتحديد مستويات الخلفية الاشعاعية لهذه النماذج باستخدام تقنية عد الاثار النووية, لنكون

قادرين على تحديد مستويات التلوث في تربة ونبات وماء مدينة الموصل. ان تحديد مستويات الاشعاع في منطقة ما يمكننا

من تحديد التلوث الاشعاعي المضاف للبيئة ومدى توزيعه في البيئة بعيدا او قريبا من مصادر التلوث الاشعاعي في

المناطق المدروسة [15].

2 .منطقة الدراسة (Study area)

تقع مدينة الموصل بين دائرتي عرض (55° 34° - 03°) شمالا, وخطى طول (25° 41° - 25°) شرقا.

تحتل مدينة الموصل من حيث الموقع الجغرافي الجزء الشمالي والشمالي الغربي من العراق يمتاز سطح مدينة الموصل

بالتباين في صفاته الطبوغرافية من منطقة إلى أخرى، إذ يؤثر ما يحيط بها من مرتفعات وسلاسل جبلية عالية في تحديد

اتجاه الرياح والمنخفضات الجوية ومسالكها ويخترق نهر دجلة المدينة بشكل متعرج من الشمال الغربي إلى الجنوب

الشرقي، ليقسمها إلى قسمين شرقي يتصف بكونه أكثر ارتفاعاً لامتداده ضمن المنطقة الجبلية العالية وقسم غربي يمتد

الجزء الأكبر منه في المنطقة المتموجة وأهم ما تتميز به المدينة من معالم السطح الطبوغرافية هو وجود منطقتين هما

المنطقة الجبلية و المنطقة المتموجة [16].

واختيرت محافظة الموصل لدراسة النشاط الإشعاعي لثلاثة مكونات هي التربة والنبات والماء، وعدد العينات هي 174

عينة لكل مكون 58 عينة لمناطق مختلفة من مدينة الموصل.

3. جمع النماذج وتهيئتها للقباس (Samples collection and preparation)

قسمت مدينة الموصل الى (12) قطاع بشكل شبكة من مربعات كما في الشكل (1).

Web Site: www.kujss.com Email: kirkukjoursci@yahoo.com,

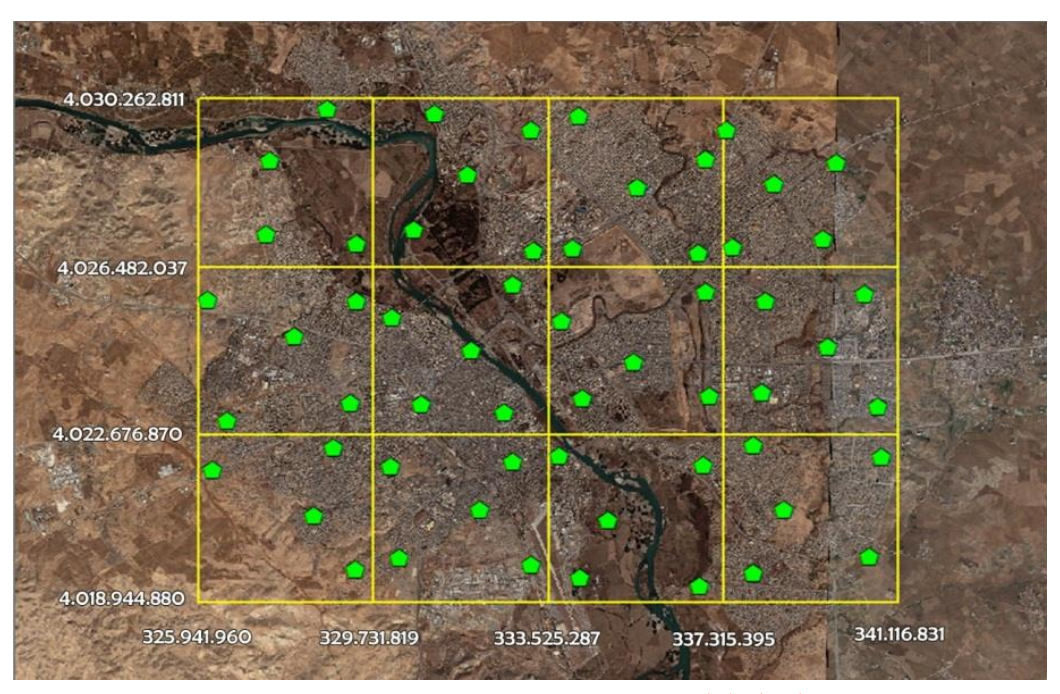
kirkukjoursci@gmail.com

248



Volume 11, Issue 4, December 2016 , p.p(243-268) ISSN 1992 – 0849

ثم جمعت النماذج من خمسة مواقع تقريبا في كل قطاع حيث اخذ نموذج عند كل ركن من اركان المربع الخاص بالقطاع ونموذج خامس عند مركز المربع نفسه. ثم استخدمت لغرض حساب معدل القياسات الناتجة عند النماذج الخمسة في كل قطاع واعتمادها نتيجة تصف مستوى الاشعاع فيه.



الشكل (1) خريطة مدينة الموصل مقسمة الى 12 قطاع

اعتمدت في هذه الدراسة نماذج اخذت من المكونات البيئية :هي التربة والنبات والماء ، وعدد العينات هي 174 عينة بمعدل 58 عينة لكل مكون.

جمعت 58 عينة ترابية على عمق يتراوح بين m 15 cm حيث من المحتمل أن تكون الطبقة السطحية قد تكونت بسبب الظروف الجوية من أمطار وسيول ورياح، وبعد الحصول على العينات يتم تصفيتها من الشوائب ثم طحنت ثم نخلت بمنخل ناعم قطر تسريبه 2mm للحصول على مسحوق ناعم وتوضع النماذج في حاويات بلاستيكية لحفظها لحين تحليلها.

اما عينات الماء والنبات فقد جمعت من مناطق جمع التربة نفسها حيث وضعت عينات الماء في قناني سعة (1 لتر) من الشبكة العامة للمياه وجمعت عينات نبات الدفلة (الاسم العلمي :نيريوم اودريم Nerium odorum) [17] او نبات



Volume 11, Issue 4, December 2016 , p.p(243-268) ISSN 1992 – 0849

اليوكالبتوس (الاسم العلمي :Eucalyptus camaldelulensis) [18] نظرا لوجودها في موقع الدراسة لمدة طويلة نسبيا, تم جمعها بوزن اكثر من 100غرام لكل عينة ويتم تجفيفها بصوره تامة في فرن تجفيف بدرجة حرار 80 درجة مئوية ولمدة 48 ساعة, ثم تزال الأجسام الغريبة العالقة بها وتطحن ميكانيكيا وتتعم وتتخل بمنخل قطر تسريبه 2mm وبعدها تصبح جاهزة للفحص المختبري.

(Experimental Part) الجزء العملي.

استخدمت نقنية كاشف الاثر النووي الصلب وذلك لأنه حساس جدا للأيونات الثقيلة مثل البروتون وجسيم الفا ونواتج الانشطار ويعد هذا الكاشف احد افضل الكواشف المستخدمة في تسجيل اثار جسيمات الفا المنبعثة من الرادون 222Rn الانشطار ويعد هذا الكاشف احد افضل الكواشف المستخدمة في تسجيل اثار جسيمات الفا المنبعثة من الرادون 0.5mm) ومساحة [19] والذي عد الناتج الطبيعي لانحلال اليورانيوم, والكاشف المستخدم ذو صناعه امريكية ذو سمك (0.5mm) ومساحة (1cm²) لكل عينة.

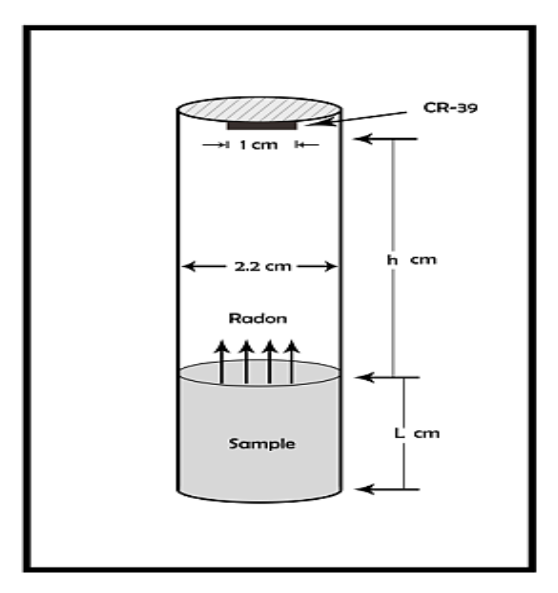
حيث تم تعريض الكاشف (CR-39) الى العينات قيد الدراسة بعد ان تم تجفيفها بواسطة فرن كهربائي وتنظيفها من الشوائب وطحنها ونخلها بمنخل ناعم قطر تسريبه mm ومن ثم تم وزن من كل عينة (20 gm) تقريبا للتربة و(10 gm) تقريبا للنبات و (15 ml) للماء, ووزنت عينات التربة والنبات بميزان حساس حساسيته (0.001gm).

تم تشعيع كواشف الاثر 39-CR باستخدام تقنية انابيب الاختبار التي هي طريقة قياس طويلة الامد حيث تعد تقنية انابيب الاختبار (حجرات الانتشار الأسطوانية كما في الشكل (2)) من التقنيات المفضلة في تحديد تراكيز الراديوم واليورانيوم.



Kirkuk University Journal /Scientific Studies (KUJSS) Volume 11, Issue 4, December 2016, p.p(243-268)

me 11, Issue 4, December 2016 , p.p(243-268) ISSN 1992 – 0849



شكل (2) يوضح منظومة القياس المستخدمه في البحث.

تكون حجرات الانتشار (انابيب الاختبار) ذات قطر (2.2 cm). تم اغلاق هذه الحجرات بسدادات محكمة الغلق مع مراعات كون المسافة بين سطح العينة وسطح السداد السفلي من الداخل الذي ثبت فيه قطعة الكاشف عن مسافة (60 cm) عن عينات التربة والنبات و (10 cm) عن عينات الماء, وتم احكام غلق حجرات الانتشار وذلك باستخدام شريط لاصق تلاقيا للتبادل بين غاز الرادون والمحيط الخارجي, مع مراعات بقاء المسافة بين سطح العينة والكاشف مساوية الى (16 cm) لعينات التربة والنبات و (20 cm) لعينات الماء, حيث تركت حجرات الانتشار ويداخلها الكواشف لمدة 30 يوم, وبعد انتهاء فترة التشعيع اخذت الكواشف واجريت عليها عملية القشط الكيميائي باستخدام محلول هيدروكسيد الصوديوم المقاوطة وبعد التهاء فترة التشعيع اخذت الكواشف واجريت عليها عملية القشط الكيميائي باستخدام محلول الميدروكسيد الصوديوم بالماء المقطر جيدا ثم تجفيفها لتبدأ عملية المشاهدة المجهرية وحساب الاثار المتكونة فيها بواسطة المجهر الضوئي عن طريق عد الاثار المنتظمة لجسيمات الفا الساقط على الكاشف بأنبوية اختبار فارغه من العينات واغلقت بأحكام بالطريقة تم حساب الخلفية الإشعاعية للكاشف اذ تم ذلك بوضع الكاشف بأنبوية اختبار فارغه من العينات واغلقت بأحكام بالطريقة نفسها وبالمدة الزمنية التي حددت في حالة وجود العينات قيد الدراسة. وجرت عملية المشاهدة المجهرية باستخدام مجهر من كثافة الإثار التابعة لجسيمات الفا المنبعثة من العينات قيد الدراسة. وجرت عملية المشاهدة المجهرية باستخدام مجهر صوئي بقوة تكبر 200X.



Kirkuk University Journal /Scientific Studies (KUJSS) Volume 11, Issue 4, December 2016, p.p(243-268) ISSN 1992 – 0849

تقدم نظم المعلومات الجغرافية تسهيلات كثيرة في تشكيل قاعدة بيانات كبيرة الحجم, كما تعطي امكانية تعديل وحذف وتحليل لهذه البيانات بهدف استثمار على نحو أمثل.

حيث تم ادخال المعطيات Input data الى ذاكرة الحاسوب وفقا لطبيعة البيانات وبهيئة رقمية (Digital). ومن ثم ربط البيانات التي تم ادخالها وخزنها عن طريق احداثيات جغرافية بمواقعها المكانية.

يتم الحصول على البيانات التي يتم اعتمادها بصورة مباشرة لبناء قواعد المعلومات المكانية ضمن برنامج نظم المعلومات الجغرافية, وذلك لكونها ذات تعريف احداثي لكل منها, عن طريق صور البيانات الفضائية وبيانات نظام تحديد المواقع العالمي (GPS). وخزنت البيانات في نظم المعلومات الجغرافية بالصيغة النقطية (Vector Formats) في هذه الطريقة يتم خزن البيانات النقطية على شكل (X,Y).

(Calculations) الحسابات. 5

يمكن حساب تركيز الرادون في الحيز الهوائي المحصور بين العينة والكاشف وذلك باستعمال العلاقة الآتية [20]:

$$C_{Rna} = \frac{\rho}{\kappa.T} \qquad \dots \tag{1}$$

إذ أن :

. Track $/\mathrm{cm}^2$ كثافة الآثار ho

لانتشار . K

. Bq/m³ تركيز الرادون في الحيز الهوائي C_{Rna}

T زمن التشعيع .



Kirkuk University Journal /Scientific Studies (KUJSS) Volume 11, Issue 4, December 2016, p.p(243-268) ISSN 1992 – 0849

تم حساب ثابت الانتشار K لحجرة الانتشار المستخدمة في هذه الدراسة حسب شكل مقياس الجرع (2) وفق العلاقة الآتية [21]:

$$K = \frac{1}{4} r(2 \cos \theta c - r / R_{\alpha})$$
 (2)

إذ أن:

r نصف قطر الأنبوبة المستعملة كحجرة انتشار ويساوي (1.1 cm).

الزاوية الحرجة للكاشف التي تساوي (35°). θ c

.(4.015cm) الذي يساوي (222 Rn) مدى جسيمات ألفا في الهواء الناتجة عن انحلال R_{α}

K=0.3776) وعند التعويض عن هذه القيم في المعادلة (2) نجد أن قيمة ثابت الانتشار (K) بوحدات الطول تساوي (K=0.3776), ولإيجاد تركيز الرادون في العينات C_{Rns} تستعمل العلاقة الآتية (cm) أو (K=0.0326 Tr. cm $^{-2}$.d $^{-1}$ /Bq. m $^{-3}$) أو (E=0.0326 Tr. cm $^{-2}$.d E=0.0326 Tr. cm

$$C_{Rns} = \lambda_{Rn} C_{Rna} h T/L$$
 (3)

إذ أن :

. Bq/ m^3 تركيز الرادون داخل العينات C_{Rns}

. Bq/m 3 تركيز الرادون داخل الحيز الهوائى C_{Rna}

. $0.1814 \; \mathrm{d}^{-1}$ ثابت انحلال الرادون ويساوى λ_{Rn}

h ارتفاع الحيز الهوائي.

L ارتفاع العينة (السمك).

T زمن التشعيع بالأيام.



Volume 11, Issue 4, December 2016 , p.p(243-268) ISSN 1992 – 0849

ويمكن إيجاد النشاط الإشعاعي A للرادون الناتج من العينات بوحدات Bq وذلك باستعمال العلاقات الآتية [23]:

		-	
$A_{Rns} = C_{Rns} V_s$		(4)	
$V_s = \pi r^2 L$		(5)	
		. m^3 : حجم العينة : V_s	
Nu وبالتالي تركيز اليورانيوم	تحديد عدد ذرات اليورانيوم	ولأجل حساب تركيز اليورانيوم في العينات المدروسة فانه يمكن ا	
	علقة [24]:	, هذه العينات من خلال تحديد عدد ذرات غاز الرادون N _{Rn} من ال	في
$A_{Rn} = \lambda_{Rn} N_{Rn} \dots$	(8)		
تخدمة من المعادلة:	اليورانيوم في العينات المسن	وباستخدام قانون التوازن الإشعاعي المثالي يتم إيجاد عدد ذرات	
$\lambda_{\rm u} \ N_{\rm u} \approx \lambda_{\rm Rn} \ N_{\rm Rn} \ \dots$	(9)		
		$4.9 imes 10^{-18}~{ m Sec}^{-1}$ د ثابت انحلال اليورانيوم ويساوي: λ	٠u
		$2.1 imes10^{-6}~{ m Sec}^{-1}$ نابت انحلال الرادون ويساوي $\lambda_{ m R}$	₹n
	ن المعادلة:	وزن اليورانيوم (كتاته) في العينات (Wu (gm فيمكن إيجاده مر	أما
$W_u = N_u A_u / N_{av} \dots$	(10)		
		U^{238} العدد الكتامي لليورانيوم: A_{U}	J
		$6.02 imes10^{23}~ ext{moL}^{-1}. ext{gm}^{-1}$ عدد افوكادرو ويساوي: $ ext{N}_{ ext{e}}$	av

ولإيجاد تركيز اليورانيوم في العينات بوحدة (ppm) نستخدم العلاقة الآتية:

 $C (ppm) = W_u / W_s(11)$

. (gm) (کتلتها (وزن العینهٔ W_s



Kirkuk University Journal /Scientific Studies (KUJSS) Volume 11, Issue 4, December 2016, p.p(243-268)

ISSN 1992 - 0849

(Results and Discussion) النتائج والمناقشة.

لغرض تحديد مستوى الناوث الاشعاعي في العينات المدروسة (التربة والنبات والماء), اعتمد تركيز الرادون في الحين الهوائي وتركيزه داخل العينات بوحدة (Bq.m-3) وكذلك تركيز الرادون (الفاعلية الإشعاعية) للعينات بوحدة (ppm), وبالتالي تركيز اليورانيوم في هذه العينات بوحدة (ppm) كمقياس لهذا التلوث.

1.6 عينات التربة:

الجدول (1) يبين العينات المستخدمة في الدراسة واوزانها وسمك كل عينة وكثافة الاثار (Tr.cm⁻²) ويبين ايضا تراكيز الرادون للعينات في الحيز الهوائي وتركيزه داخل العينات. و الفاعلية الاشعاعية للرادون (Bq) وعدد ذرات اليورانيوم وكتلته وتركيزه في العينات (ppm), ومن الجدير بالذكر والملاحظة ان تركيز اليورانيوم قد تراوح بين اقل قيمة (ppm) لحي 17 تموز, واعلى قيمة (2.704451 ppm) لحي المعلمين, وان معدل التركيز كان تقريبا (ppm).

 $\times 10^3 \; \mathrm{Bq.m^{-3}}$ ويلاحظ ايضا من الجدول (1) إن تركيز الرادون في الحيز الهوائي للحجرات تتراوح بين اقل قيمة (1.213170 من الجدول (1) إن تركيز الرادون في الحيز الهوائي الحجرات تتراوح بين اقل قيمة (1.213170 لحي المعلمين, وان معدل التركيز كان التركيز كان التركيز كان $1.713891 \times 10^3 \; \mathrm{Bq.m^{-3}}$ نقريبا (1.713891 $\times 10^3 \; \mathrm{Bq.m^{-3}}$) .

 $\times 10^5~{
m Bq.m}^{-3}$ اما تركيز الرادون في العينات فيلاحظ من الجدول نفسه ان اقل قيمة كانت لحي 17 تموز حيث بلغ ($0.264082~{
m Bq.m}^{-3}$) وان معدل التركيز كان ($0.264082~{
m Co.}$), وان اعلى قيمة كانت لحي المعلمين حيث بلغ ($0.373079~{
m Co.}$).



Volume 11, Issue 4, December 2016 , p.p(243-268) ISSN 1992 – 0849

جدول (1) اسماء عينات التربة ووزنها وسمكها وكثافة الاثاروكثافة فعالية الرادون في الحيز الهوائي وداخل العينات والفاعلية الإشعاعية للرادون وعدد ذرات اليورانيوم وكتلته وتركيزه.

تركيز اليورانيوم في العينات C _u (pp m)	كتلة اليورانيوم في العينات W _u (gm) ×10 ⁻⁶	عدد ذرات اليورانيوم في العينات $N_u \times 10^1$	الفاعلية الإشعاعية للرادون A _{Rn} (Bq	كثافة فعالية الرادون داخل العينات C _s (Bq. m ⁻³) ×10 ⁵	كثافة فعالية الرادون في الحيز في الحيز الهواني ${ m C_a(Bq.\ m^{-3})}$	كثافة الاثار Tr.c m ⁻²	سمك العين ة L (cm	وزن العينة kg × 10 ⁻³	المنطق ة	ت العي نة
2.2866	47.1755	1.1938	0.5829	0.38339	1.76126	1724	4	20.631	الميثاق	1
32	18	57	60	2	8	1.570	4	0	1 11	
2.1383	42.9614	1.0872	0.5308	0.34914	1.60393	1570	4	20.091	الحاوي	2
07	64	13	86 0.5633	5 0.37049	9	1,000	4	3	.1	
2.2483	45.5884	1.1536			1.70201	1666	4	20.276	و ادي	3
28	07	93	48	4	4	2020	4	5	حجر المعلم	4
2.7044 51	55.5488 99	1.4057 60	0.6864 32	0.45144	2.07388	2030	4	20.539		4
2.2544	44.4938	1.1259	0.5498	0.36159	1.66114	1626	4	19.735	ين الاخاء	5
58	44.4938 47	93	0.3498	9	9	1020	4	19.733	الاحاء	3
2.3034	47.0660	1.1910	0.5816	0.38250	1.75718	1720	4	20.433	الجز ائـ	6
18	62	87	0.3810	3	1./3/18	1/20	4	20. 4 33	•	0
2.0644	41.8669	1.0595	0.5173	0.34025	1.56307	1530	4	20.279	ر الفارو	7
45	04	1.0393	60	0.34023	1.30307	1330	4	9	العارو ق	,
1.9465	39.6230	1.0027	0.4896	0.32201	1.47930	1448	4	20.355	الاصلا الاصلا	8
77	57.0230	29	32	4	2	1440	4	3		O
2.3537	47.3966	1.1993	0.5856	0.38517	1.76944	1732	4	20.135	ح الز هور	9
79	30	97	65	1	1.70344	1/32	-	4	الرسور	,
2.5213	52.1010	1.3185	0.6438	0.42342	1.94515	1904	4	20.664	البلديا	10
43	32.1010	06	26	2	9	1704	-	0	رببد <u>ب</u> ت	10
2.6573	54.5637	1.3808	0.6742	0.44343	2.03710	1994	4	20.532	الغابات	11
91	96	30	59	7	5	1774	7	8	,	11
1.5901	32.4947	0.8223	0.4015	0.26408	1.21317	1187.	4	20.434	17	12
68	38	35	46	2	0	5		7	تموز	

وباقي التراكيز متقاربة وقد يكون السبب في التقارب هو وقوع هذه العينات على نفس الخط بالنسبة للتكوين الجيولوجي (UNSCEAR) (The United Nations) وفقا لـ Scientific Committee on the Effects of Atomic Radiation) نجد ان ما حصلنا علية من نتائج هي ضمن الحدود المسموح بها وطبيعية لاتضر بالصحة ولا بالبيئة. وعند مقارنة هذه النتائج مع نتائج دراسات اخرى في بعض



Volume 11, Issue 4, December 2016 , p.p(243-268) ISSN 1992 – 0849

الدول مثل (الصين وكوبا وفنلندا واليابان والسويد والمملكة المتحده) اجريت على نماذج من التربة كما في الجدول رقم (2) بان جميع التراكيز تعتبر طبيعية اذا قورنت بتركيز اليورانيوم في التربة في اغلب دول العالم.

جدول رقم (2) تراكيز اليورانيوم في ترب بعض الدول [26].

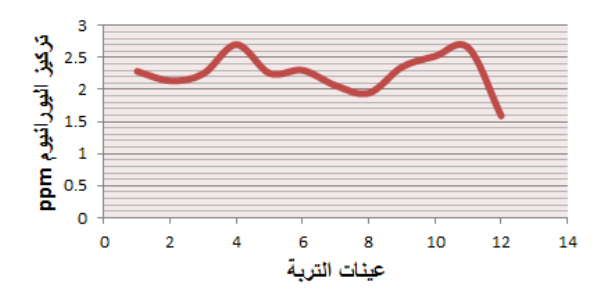
Country		Average (mg/kg)	Standard Deviation	Range of Values	Notes
CHINA		3.19	2.77	0.15-42	
	Western	4.3		[0.73–	
	Region			9.6]	
CUBA Region Eastern Region		3.51		[1.40-	
				9.70]	
		0.91		[0.93–	
				15.9]	
FINLAND		3.42	2.04	<0.3-48	
JAPAN		1.3		0.258-	
				5.51	
SWE	EDEN	1.79	1.48	0.00-	
				50.0	
UK		3		0.5-17.2	
(NE England)					
Present work		2.41709	0.5110	1.5232-	*Plant(1.2494)(0.2511) (
				3.2949	0.7404-1.6568)
					Water(0.0524) (1.557) (
					0.0319-0.0844)

^{*}هذه القيم حصلنا عليها في البحث الحالي ولم تتوفر بيانات عالمية للمقارنة.

ومن الجدير بالذكر ان الترب بمفهومها الصحيح هي عبارة عن رواسب طبيعية تدخل في تكوينها المعادن والمواد العضوية ويعتمد تركيبها الكيميائي ومدى احتوائها من العناصر على عدد من العوامل منها الظروف الجوية والتضاريس التي تلعب دورا كبيرا واساسيا ونوع الصخور الأم التي تكونت منها الترب وكذلك على الغطاء النباتي والفعاليات الحياتية للكائنات الحية [26] الشكل (3) يبين العلاقة بين تركيز اليورانيوم و مناطق الدراسة الاثنى عشر بوحدة (ppm).



Volume 11, Issue 4, December 2016 , p.p(243-268) ISSN 1992 – 0849



الشكل (3) علاقة تركيز اليورانيوم في عينات التربة.

2.6 عينات النبات:

الجدول (3) يبين عينات النبات المستخدمة في الدراسة واوزانها وسمك كل عينه وكثافة الاثار (Tr.cm⁻²) ويبين ايضا تراكيز الرادون للعينات في الحيز الهوائي وتركيزه داخل العينات النباتية. والفاعلية الاشعاعية للرادون (Bq) وعدد ذرات اليورانيوم وكتلته وتركيزه في العينات بالـ(ppm), ومن الجدير بالذكر والملاحظة ان تركيز اليورانيوم قد تراوح بين اقل قيمة اليورانيوم وكتلته وتركيزه في العينات بالـ(ppm), ومن الجدير بالذكر والملاحظة ان تركيز اليورانيوم قد تراوح بين اقل قيمة (0.393860ppm) لحي المعلمين, وان معدل التركيز كان تقريبا (0.588389 ppm).

 $\times 10^3~{\rm Bq.m}^{-3}$ يلاحظ من الجدول (3) إن تركيز الرادون في الحيز الهوائي للحجرات تتراوح بين اقل قيمة (3 $\times 10^3~{\rm Bq.m}^{-3}$ يلاحظ من الجدول (10 $\times 10^3~{\rm Bq.m}^{-3}$ يا تموز واعلى قيمة ($0.153242~{\rm Bq.m}^{-3}$) لحي المعلمين, وان معدل التركيز كان تقريبا ($0.225606~{\rm X}^{-3}~{\rm Bq.m}^{-3}$)

اما تركيز الرادون في العينات فيلاحظ من الجدول نفسه ان اعلى قيمة كانت في لحي المعلمين, حيث بلغ ($0.033357 \times 10^5 \text{ Bq.m}^{-3}$). وان معدل التركيز كان تقريبا ($0.049109 \times 10^5 \text{ Bq.m}^{-3}$).



Volume 11, Issue 4, December 2016 , p.p(243-268) ISSN 1992 – 0849

جدول (3) اسماء عينات النبات ووزنها وسمكها وكثافة الاثاروكثافة فعالية الرادون في الحيز الهوائي وداخل العينات و الفاعلية الإشعاعية للرادون وعدد ذرات اليورانيوم ووزنه وتركيزه.

تركيز اليورانيوم في العينات C _u (pp m)	كتلة اليورانيوم في العينات W _u (gm)×10 ⁻⁶	عدد ذرات اليورانيوم في العينات $N_u \times 10^1$	الفاعلية الإشعاعية للرادون A _{Rn} (Bq)	كثافة فعالية الرادون داخل العينات $C_s(Bq.$ $m^{-3})$ $ imes 10^5$	كثافة فعالية الرادون في الحيز الهوائي $C_a(Bq.$ $m^{-3})$ $ imes 10^3$	كثافة الاثار Tr.c m ⁻²	سمك العين ة L (cm	وزن العينة kg × 10 ⁻³	المنط <u>ة</u> ة	ت العي نة
0.57911	5.91062	0.14957 8	0.07303 9	0.04803	0.22066 9	216	4	10.206	الميثاق	1
0.57491	5.96534	0.15086	0.07371	0.04848	0.22271	218	4	10.376	الحاوي	2
0.57776	6.23898	0.15788	0.07709	0.05070	0.23292	228	4	10.798	واد <i>ي</i> حجر	3
0.85215 9	9.03011	0.22852	1.11587 6	0.07338 7	0.33713	330	4	10.596 7	المعلمي ن	4
0.50734	5.36334	0.13572 8	0.06627 6	0.04358 7	0.20023 7	196	4	10.571	الاخاء	5
0.62349	5.91062	0.14957	0.07303	0.04803	0.22066	216	4	9.4798	الجزائر	6
0.54949	5.58223 8	0.14126 8	0.06898	0.04536 6	0.20840 9	204	4	10.158 8	الفارو ق	7
0.56768	5.41807	0.13711	0.06695	0.04403	0.20228	198	4	9.5441	الاصلا ح	8
0.52621	5.47279	0.13849	0.06762	0.04447	0.20432	200	4	10.400	الز هور	9
0.67505	6.95045	0.17589	0.08588	0.05648	0.25949	254	4	10.296	البلديات	10
0.63357	6.56735	0.16619	0.08115	0.05337	0.24518	240	4	10.362	الغابات	11
0.39386	4.10459 8	0.10387	0.05072 1	0.03335 7	0.15324	150	4	10.421 4	17 تموز	12

ان معدل تراكيز اليورانيوم الطبيعي في انسجة الكائنات الحية هو بحدود (ppm). ويمكن ان يكون اعلى او اقل من هذه القيمة [27] وبذلك جميع تراكيز الدراسة الحالية تعتبر طبيعية من المعلوم ان جزءا صغيرا من كمية العنصر الكلي الموجود في التربة يكون صالحا للامتصاص بالنبات, وهذا الجزء القابل للاستفادة قد يتعرض لتغيرات كثيرة تتوقف على ظروف التربه من الأس الهيدروجيني (قلوية أو حموضة) وأكسدة أو اختزال ورطوبة او جفاف. ولقد استخدمت النظائر



Volume 11, Issue 4, December 2016 , p.p(243-268) ISSN 1992 – 0849

المشعة بشكل مكثف لدراسة وقياس الكميات القابلة للتبادل من العناصر في التربة ومعدلات تبادلها وحركتها وقابليتها للاستفادة, وكذلك دراسة الميكانيكية التي يمتص بها العنصر بواسطة النبات [28].



الشكل (4) علاقة تركيز اليورانيوم لا 238 في عينات النبات.

3.6 عبنات الماء:

تشير النتائج في الجدول رقم (4) الى ان اقل تركيز لليورانيوم والرادون في عينات الماء تحت الدراسة كان في حي الأخاء (0.0319246ppm) لليورانيوم و (0.0319246ppm) لليورانيوم و (0.0319246ppm) لليورانيوم و (0.0319246ppm) لليورانيوم و (0.0843723 ppm) لليورانيوم و (0.0038917 Bq.m⁻³) لليورانيوم و (0.0755996×10³ Bq.m⁻³) لليورانيوم و (0.0755996×10³ Bq.m⁻³) للرادون في الحيز الهوائي للحجرات و (0.047164×10³ Bq.m⁻³) للرادون في الحيز الهوائي العينات, اما معدل التركيز كانت (0.0064164×0052637) للرادون في العينات.

جدول (4) اسماء عينات الماء ووزنها وسمكها وكثافة الاثاروكثافة فعالية الرادون في الحيز الهوائي وداخل العينات و الفاعلية الإشعاعية للرادون وعدد ذرات اليورانيوم ووزنه وتركيزه.

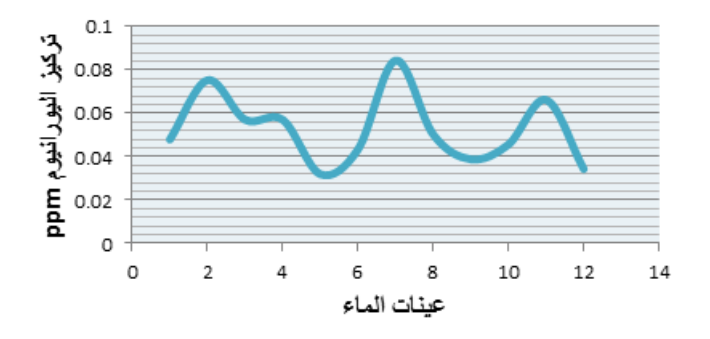
تركيز اليورانيوم في العينات C _u (ppm)	كتلة اليورانيوم في العينات W _u (gm) ×10 ⁻⁶	عدد ذرات اليورانيوم في العينات N _u ×10 ¹⁷	الفاعلية الإشعاعية للرادون A _{Rn} (Bq)	2 ثافة فعالية الرادون داخل داخل العينات $C_{\rm s}({ m Bq.m}^{-3})$	2 ثافة فعالية الرادون في الحيز في الحيز الهواني $C_{a}(Bq.\ m^{-3}) imes 10^{3}$	كثافة الاثار Tr.c m ⁻²	سمك العين ة L (cm	وزن العيانة kg × 10-3	المنطق ة	ت العي نة	
---	--	--	--	---	---	--	-------------------------------	-----------------------------------	-------------	-----------------	--



Volume 11, Issue 4, December 2016 , p.p(243-268) ISSN 1992 – 0849

0.04788	0.71830	0.01817	0.08876	0.00583	0.04290	42	4	15	الميثاق	1
69	47	79	28	76	79					
0.07525	1.12876	0.02856	0.01394	0.00917	0.06742	66	4	15	الحاوي	2
09	46	53	84	34	67					
0.05700	0.85512	0.02164	0.01056	0.00694	0.05108	50	4	15	و ادي	3
83	46	04	70	95	08				حجر	
0.05700	0.85512	0.02164	0.01056	0.00694	0.05108	50	4	15	المعلم	4
83	46	04	70	95	08				ین	
0.03192	0.47886	0.01211	0.00591	0.00389	0.02860	28	4	15	الاخاء	5
46	98	86	75	17	52					
0.04332	0.64989	0.01644	0.00803	0.00528	0.03882	38	4	15	الجزائ	6
63	47	67	09	16	14				ر	
0.08437	1.26558	0.03202	0.01563	0.01028	0.07559	74	4	15	الفارو	7
23	45	77	91	53	96				ق	
0.05016	0.75250	0.01904	0.00929	0.00611	0.04495	44	4	15	الاصلا	8
73	97	35	89	56	11				ح	
0.03876	0.58148	0.01471	0.00718	0.00472	0.03473	34	4	15	الزهور	9
56	47	54	55	56	49					
0.04560	0.68409	0.01721	0.00845	0.00555	0.04086	40	4	15	البلديا	10
66	97	23	36	96	46				ت	
0.06612	0.99194	0.02510	0.01225	0.00806	0.05925	58	4	15	الغابات	11
96	46	28	77	14	38					
0.03420	0.51307	0.01298	0.00634	0.00416	0.03064	30	4	15	17	12
49	48	42	02	97	85				تموز	

لقد كانت جميع تراكيز الرادون في عينات الماء التي تمت دراستها اعلى من الحد المسموح به لتركيز الرادون في مياه الشرب البالغ (0.0111 Bq\m³) حسب وكالة حماية البيئة الامريكية EPA [29] و(0.0111 Bq\m³) حسب منظمة الصحة العالمية WHO]. تعتمد كمية الرادون المتحرر من الماء عند استعماله بشكل عام على عاملين رئيسيين: العامل الاول يتعلق بالمواصفات الجيولوجية للطبقات الجوفية حيث يوجد مخزون الماء والعامل الثاني يعتمد على استخدام الماء مباشرة من الابار الجوفية او بعد تخزينه لغرض التنقية والمعالجة قبل استخدامه كما هو الحال في الشبكات العامة المياه [31].

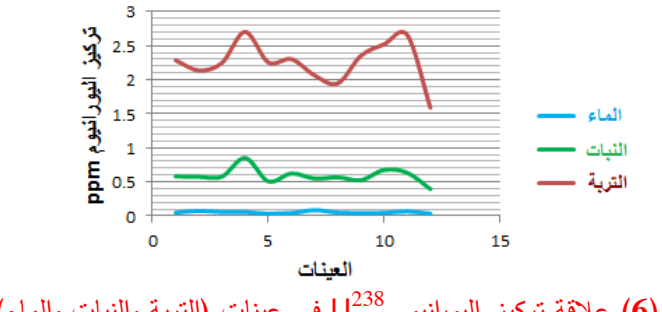




Kirkuk University Journal /Scientific Studies (KUJSS) Volume 11, Issue 4, December 2016, p.p(243-268) ISSN 1992 - 0849

الشكل (5) علاقة تركيز اليورانيوم ²³⁸U في عينات الماء.

يبين الشكل (6) ان اقل قيمة لتركيز اليورانيوم كانت في حي 17 تموز لعينات التربة والنبات وفي حي الاخاء بالنسبة لعينات الماء واعلى قيمة في حي المعلمين لعينات التربة والنبات وفي حي الفاروق لعينات الماء.



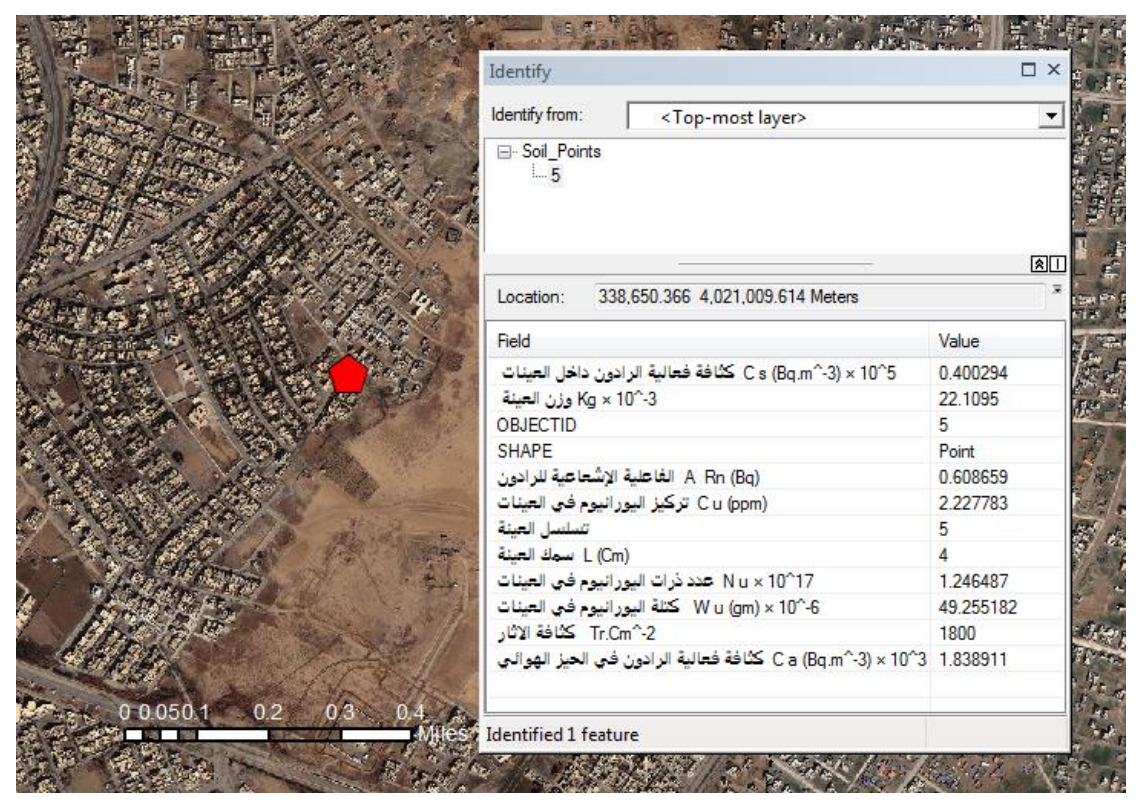
الشكل (6) علاقة تركيز اليورانيوم U²³⁸ في عينات (التربة والنبات والماء).

بعد ان تم حوسبة مكونات نظام المعلومات الجغرافي اصبح من السهل الوصول الى الكم الهائل من البيانات الجغرافية والتي احيانا يصعب الوصول اليها بالطرق التقايدية, وسهولة البحث عن المعلومه في قواعد بيانات نظم المعلومات الجغرافية وسهولة الوصول الى الخصائص الخاصة والدقيقة لاي ظاهره مربوطة بقواعد البيانات. واستعادة البيانات وتحليلها, كالبحث عن معلومات مكانية اعتمادا على جدول المعلومات الوصفية او بالعكس, وتقديم معلومات عن اي منطقة يتم تحديدها, حيث يعمل البرنامج على توفير الوقت وزيادة الكفاءة والدقة والانتاجية وادارة الموارد وبناء قاعدة معلومات, وتسهيل عملية حفظ البيانات مع الخرائط الضخمة داخل الحاسوب بحيث يمكن الوصول اليها بسهولة واجراء التعديلات ولعل هذه أهم فوائد النظام .كما يوضح الشكل (7) بيانات الموقع رقم (5) لعينات التربة, ويوضح الشكل (8) بيانات الموقع رقم (3) لعينات النبات, و يوضح الشكل (9) بيانات الموقع رقم (11) لعينات الماء, حيث تم اختيار المواقع يصورة عشوائية كمثال للعرض.

> Web Site: www.kujss.com Email: kirkukjoursci@yahoo.com, kirkukjoursci@gmail.com



Volume 11, Issue 4, December 2016 , p.p(243-268) ISSN 1992 – 0849



الشكل (7) يوضح بيانات عينة التربة التي تم ادخالها وخزنها وربطها باحداثيات خاصة بموقعها المكاني رقم (5).





Volume 11, Issue 4, December 2016 , p.p(243-268) ISSN 1992 – 0849

الشكل (8) يوضح بيانات عينة النبات التي تم ادخالها وخزنها وربطها باحداثيات خاصة بموقعها المكاني رقم (3).



الشكل (9) يوضح بيانات عينة الماء التي تم ادخالها وخزنها وربطها باحداثيات خاصة بموقعها المكاني رقم (11).

7. الاستنتاجات (Conclusions)

نستنتج من هذه الدراسة ان معدل تركيز اليورانيوم للتربة في المواقع التي شملتها الدراسة في مدينة الموصل ضمن (UNSCEAR) (The United Nations Scientific Committee on the Effects) المستوى المسموح به من قبل of Atomic Radiation) والذي يبلغ (11.7 ppm) وإن الترب والنباتات تحتوي على تراكيز متباينة من المواد المشعة, وإن هذه التراكيز تعتمد على تركيبها والمواد التي تحتويها. وإن تربة ونبات عينة حي المعلمين وماء عينة حي الفاروق تحتوي على تراكيز عالية من اليورانيوم مقارنة مع المناطق الاخرى من المدينة. وجميع الخرائط الموضوعية المنتجة أدوات مفيدة لغرض تتبع التغيرات وتحديد نطاق تغيرها على المناطق المجاورة عن طريق مقارنة مجموعة من الصور والخرائط لفترات زمنية مختلفة.



Volume 11, Issue 4, December 2016 , p.p(243-268) ISSN 1992 – 0849

8. المصادر (References)

[1]. محسن محمد البدراني, 2000. "تحديد التلوث الاشعاعي في الاسمدة النباتية باستخدام 39-CR", مجلة علوم الرافدين, العدد (2), المجلد (17).

[2]. هناء احسان حسن البارودي, 2004. "تحديد الخلفيه الاشعاعيه في بيئة محافظة نينوى باستخدام تقنيتي HPGe و CR-39, اطروحة دكتوراه – قسم الفيزياء – كلية العلوم, جامعة الموصل.

[3]. نضالة حسن كاظم, علي مصطفى محمد, 2009. " قياس تراكيز الرادون في تربة بعض المناطق الشمالية للعراق باستخدام كاشف الاثر النووي CR-39", مجلة بغداد للعلوم, العدد (3), المجلد (6).

[4]. A. M. Mohammad, 2011. "Measurement of Radon-222 Concentration in Soil Samples of some Sulfuric Spring in Hit City Using CR-39 Detector", Baghdad Science Journal. Vol 8, No 2.

[5]. N. H. Al-Ani, N. F. Tawfiq, D. H. Ghayb, 2010. "Measurement of Alpha Emitters Concentration in Tomato Fruits Using CR-39 Plastic Track Detector", Baghdad Science Journal. Vol 7, No 1.

[6]. E. M. Rasheed, 2012. "Determination the Concentration of the Radon in some Drinking Bottled Water in Baghdad using LR-115 Detector", Baghdad Science Journal Vol 9, No 4.

[7]. N. R. Al-Ataby, 2005 ."Study of Environmental Radioactivity in the Soil of Al-Tuwaitha Zone and its Surrounding Sides", Ph.D. Thesis, Baghdad University, College of Science .

[8]. رشيد محمود يوسف, 2008. "قياس النشاط الاشعاعي الطبيعي في عينات من المرمر المستعمل كمواد للبناء", مجلة علوم الرافدين, العدد (1), المجلد (19).

[9]. شاكر محمود الجبوري, 2013. "تحديد تراكيز اليورانيوم المنضب في نماذج بايولوجية باستخدام كاشف الاثر النووي CR-39 ", مجلة كلية مدينة العلم الجامعة, العدد (2), الجزء (5).

[10]. يوسف صباح حسن, 2013. "تحديد تراكيز اليورانيوم في انواع من السمنت المستخدم في محافظة نينوى باستعمال كاشف CR-39 ", مجلة جامعة كركوك الدراسات العلمية, العدد (4), الجزء (8).



Kirkuk University Journal /Scientific Studies (KUJSS) Volume 11, Issue 4, December 2016, p.p(243-268)

ISSN 1992 - 0849

[11]. A. El-Taher, S. Makhluf, 2010. "Natural radioactivity levels in phosphate fertilizer and its environmental implications in Assuit governorate", Upper Egypt. Indian Journal of Pure & Applied Physics, Vol. 48, pp. 697-702.

[12]. ندى فاضل توفيق, نجيبه عبد الله حسن, صبيحه عبد الجبار بدن, 2011. "تحديد تركيز اليورانيوم في نماذج من تربة ومياه المناطق الوسطى والجنوبية من العراق باستخدام كاشف الاثر 39-CR", مجلة بغداد للعلوم, عدد (2), المجلد (8).

[13]. فوزي سعيد كباره, محمد عبدالرحمن بخاري, 1993. " أنظمة المعلومات الجغرافية واستخدامها في التطبيقات البيئية", الندوة الجغرافية الخامسة لأقسام الجغرافية بجامعات المملكة العربية السعودية – جامعةالملك سعود, الرياض – المملكة العربية السعودية.

[14]. يزن نافع محمود شهاب, 2014. "مكونات ادارة بيانات المشروع باستخدام نظام المعلومات الجغرافي دراسة تطبيقية لبعض مشاريع دائرة الاعمار والمشاريع اجامعة الموصل ", رسالة ماجستير, جامعة الموصل.

[15]. V. Changizi, M. Angaji, M. R. Zare, Kh. Abbasnejad, 2012. "Evaluation of ²²⁶Ra, ²³²Th, ¹³⁷Cs, and ⁴⁰K "Agaricus Bisporus" Activity in Cultivated Edible Mushroom formed in Tehran Province-Iran", Iranian Journal of Medical Physics, Vol 9, No 4, 239-244.

[16]. عادل علي بلال, هدى هاشم بدر, 2012. " التغير المناخي والموارد المائية في محافظة نينوى ", مجلة جامعة دمشق للعلوم الهندسية المجلد (28), العدد (1), المجلد (28).

[17]. عزالدين عطية البيار, طارق محمد عبد, احمد فرحان شلال, 2010. "دراسة تأثير بعض المبيدات الكيمياوية والمستخلصات النباتية على فعالية بعض الإنزيمات لحشرة الصرصر الألماني Blattella (Dictyoptera: Blattellidae) ", مجلة الانبار للعلوم الزراعية العدد (4), المجلد (8).

[18]. منال محمد اكبر, ناصر المنصور, علاء ناظم حاتم, 2011. "تأثير بعض مستخلصات المذيبات العضوية ومستخلصات المركبات الثانوية على الأداء الحياتي لحشرة النبابة المنزلية. ... Musca domestica (Diptera: , مجلة ابحاث البصره, العدد (37), الجزء (2).



Kirkuk University Journal /Scientific Studies (KUJSS) Volume 11, Issue 4, December 2016, p.p(243-268) ISSN 1992 – 0849

[19]. نشأة رحيم العتابي, حليمه جابر محمد, باسم حسن عيسى, 2008. "استخدام كواشف الاثر النووي للحاله الصلبه في قباس تراكبز غاز الرادون في التربه في منطقة التوبثه", مجلة جامعة النهربن, العدد (3), المجلد (11).

- [20]. A. Azam, A. Naqui, D. Srivatava, 1995. "Radium concentration and Radon. exhalation measurement using LR-115 Type II plastic track detectors", Nucl. Geophs, 9(6) 653-657.
- [21]. R. Barillon, D. Klein, A. Chambaudet, F. Membrey, M. Fromm, 1991. "Additional uses of polymeric nuclear track detectors CR-39 and LR-115 for measuring radon emanation", Nucl. Tracks Radiat. Meas., 19,291-295.
- [22]. B. A. AL-Bataina, A. M. Ismail, M. K. Kullab, K. M. Abumurad and H. Mustafa, 1997. "Radon Measurements in Different Types of Natural Waters in Jordan", Radiat. Meas., Vol. 28, No. 1-6, pp. 591-594.

[23]. صبا سالم محمد ذنون الحلاوجي, 2014 . "حساب تراكيز العناصر المشعة 40K و 232Th و 232Th في عينات الصخور الفوسفاتية والأسمدة والتربة وتحديد مؤشرات التلوث الاشعاعي", رسالة ماجستير, جامعة الموصل.

[24]. منيب عادل, فراس محمد, 1997. " الكشف عن اليورانيوم المنضب في اتربة من مواقع عمليات ام المعارك باستخدام CR-39", مجلة علوم الرافدين, مجلد 8, العدد(2).

- [25]. United Nations Scientific Committee on the effect of Atomic Radiation (UNSCEAR), 1993. "Sources, Effect, and Risks of Ionizing Radiation", Report to the general Assembly with Scientific Annexes, United Nation.
- [26]. IAEA (International Atomic Energy Agency), 2005. "Natural activity concentrations and fluxes as indicators for the safety assessment of radioactive waste disposal" IAEA-TECDOC-1464. Vienna, Austria.

[27]. فراس محمد علي الجميلي, 1996. " الكشف عن اليورانيوم المنضب في اتربة من مواقع عمليات ام المعارك باستخدام الكاشف CR-39", رسالة ماجستير, كلية العلوم, جامعة الموصل.

[28]. ممدوح فتحي عبد الصبور, 2001. " التطبيقات المفيدة للنظائر المشعة في الحياة", مجلة أسيوط للدراسات البيئية – العدد (21).



Volume 11, Issue 4, December 2016 , p.p(243-268) ISSN 1992 – 0849

[29]. U.S. EPA, United States Environmental Protection Agency, 1991. "Federal Register 40 Parts 141 and 142 National Primary Drinking Water Regulations; Radionuclides: Proposed Rule. U.S. Government Printing Office", Washington, DC.

[30]. World Health Organization (WHO), 2004. "Guideline for Drinking –Water Qality" Third Edition, volume 1, Recommendations, Geneva.

[31]. سعاد فرج العرابي, نجاة على شهبون, 2012 . "الرادون في الماء", المركز الليبي للبحوث الزراعية المجلة الدولية, العدد (3).